

دراسة تحليلية ورقمية لرنانات عازلة كهربائياً بهدف تصميم و تنفيذ دارات متكاملة ميكروية لاستخدامها في أجهزة الاتصالات

*د. ثائر داؤد

(الإيداع: 13 آيار 2019 القبول: 4 آب 2019)

الملخص:

ضمن حزمة الترددات العالية (الميكروية و البصرية) ، فإن الرنانات العازلة كهربائياً التي تعمل بالأنماط التقليدية مثل TE₀₁₅ تكون أبعادها صغيرة نسبياً، وبالتالي يكون استخدامها بدقة معينة في الدارات صعباً للغاية ولا يسمح لها بالاندماج السهل في هذه الدارات.

لذلك تم التوجه لاستخدام هذه الرنانات بحيث تعمل بأنماط جديدة التي تسمى أنماط طرفية أو أنماط هامسة Whispering Modes WM لأنها تسمح بزيادة قطر الرنان من أجل نفس الترددات السابقة.

يتركز البحث هنا على دراسة تمهيدية تفصيلية كهرومغناطيسية (تحليلية و رقمية) لبني برنانات عازلة كهربائياً اسطوانية تعمل بهذه الأنماط بهدف استخدامها لاحقاً في تصميم الدارات المتكاملة الغير فعالة الميكروية مثل: موزعات الاستطاعة Oscillators، المرشحات Combinor of puissance filters، المهازات

إن إنجاز هذه الدراسة استلزم منا أولاً تطوير طريقة تحليلية حسابية سمحت لنا بتحديد علاقات التشتت لعناصر الحفل الكهرومغناطيسي التي تسمح لنا بتحديد تقريري للترددات الطينية لمختلف الأنماط. و ثانياً استخدام طريقة رقمية حسابية ارتكزت على مكتبة برامج MODULEF و ذلك بعد كتابة كافة الكودات اللازمة و الملائمة لكل بنية مدرrosة. من خلال هذه المرحلة سيتم التحديد الدقيق لكافة البارامترات الكهرومغناطيسية (الترددات الطينية، توزع الحقل الكهرومغناطيسي، معامل النوعية بالفراغ,...). و أخيراً سنقوم بدراسة تغيرات معامل النوعية بالفراغ كتابع لأبعاد البنية المختلفة.

إن هذه الدراسة ستضع بين أيدينا كل قيم البارامترات الكهرومغناطيسية كتابع للخواص الهندسية و الفيزيائية للبني المدرrosة، و من خلال ذلك يمكننا اختيار الأسباب لتصميم و تنفيذ الدارات العملية لاستخدامها في التطبيقات المناسبة. و سنستخدم هذه النتائج في تصميم مرشحات تمرير حزمة ميكروية بضياعات منخفضة و حزمة ضيقة و انتقائية ممتازة

الكلمات المفتاحية: رنان عازل كهربائياً، الأنماط الهمسة ، مكتبة برامج MODULEF ، دارات متكاملة غير فعالة.

*قسم هندسة الاتصالات - كلية الهندسة الكهربائية و الالكترونية - جامعة حلب- حلب - الجمهورية العربية السورية.

**Analytic And Numeric Study for Dielectric Resonators for design and execute
microwaves integrated circuits for use them in communication devices**

*Dr. Eng. Thaer DAOUD

(Received: 13 May 2019, Accepted: 4 August 2019)

Abstract:

The dimensions of the dielectric resonators which works in conventional modes through the beam of high frequencies (microwave and optic) like TE_{018} are very tiny absolutely. So the use of them is very difficult in the specific accuracy into the circuits and they are not allowed an easy merging in these circuits. So the use of these resonators which called either edging modes or whispering modes (WM), are worked in new modes, because they allow to increase the resonator diameter for the same previous frequencies.

The study we are advancing here focuses on a detailed preliminary electromagnetic (Analytic And Numeric) for structures in cylindrical dielectric resonators operating in these modes, for use them later in designing the microwaves passive integrated circuits such as : Combinor of puissance, Filters, Oscillators,....

The achievement of this study requires from us, at first developing calculative analytic study which allows us to identify the dispersion equations for the elements of electromagnetic field that permit to identify approximately the resonance frequencies for different modes . Secondly, the use of numeric calculative method is based on library Modulef programme. That can be done after writing all the necessary and proper codes for each studied structure. Through this phase, it will define accurately for all electromagnetic parameters (resonance frequencies, distribution of electromagnetic field, vide quality factor), Finally, we will study the evolution of vide quality factor as a follower to various structure dimensions.

This study will put in front of us all the value of the electromagnetic parameters as a follower to physical and geometrical materials for the studied structures. Through that, we can chose the best to design and execute the practicality circuits for use them in suitable applications, and for us, we will use these results in designing microwave band pass filters in very low loss, narrow band and excellent selectivity

Key words: Dielectric Resonators, Whispering Modes, library Modulef Programme, Passive Integrated Circuits.

*University of Aleppo – Faculty of Electrical & Electronic Engineering - Dep. of Telecommunications .

1- مقدمة:

أيًّا يكن الاستخدام في أنظمة الاستقبال أو الإرسال أو معالجة الإشارة ، فإن المرشحات الغير فعالة و الفعالة تلعب دوراً هاماً في الأجهزة التي تعمل بالترددات الميكروية. خواصها الكهربائية (تردد مركزي - حزمة تمرين - ...) تكون محددة تبعاً لتطبيقاتها، و خواصها الميكانيكية و الحرارية و كذلك أبعاد الأجهزة تأخذ حيزاً مهمًا من الاهتمام يتوجب التقيد بها عند تصميم الدارات.

وبتطور الاتصالات في السنوات الأخيرة فقد تم تصميم و تنفيذ العديد من المرشحات وكل واحدة منها تكون مميزة بحسنات و سلبيات.

المرشحات الغير فعالة كانت الأقدم ، و العديد منها رأت النور في التطبيقات وأول التصميمات كانت انطلاقاً من الأجوف المعدنية أو أدلة الموجة. هذه الأجهزة تقدم مميزات كهربائية ممتازة ضمن عرض حزمة كبير ، ولكن استخدامها في العديد من التطبيقات كان محدوداً بسبب المشاكل الحجم و الاستقرار الحراري و غيرها.

وبهدف تصغير أبعاد المرشحات فقد تم الاستخدام الكبير للتقنيات المسطحة (المستوية) و التي منه الرنانات المستوية في العديد من الأنظمة ، ولكن خواصها الكهربائية كانت متوسطة بسبب الضياعات الكبيرة للرنانات المستوية.

ومع تقدم آليات التنفيذ، فإن استخدام المواد العازلة كهربائياً و المستقرة حرارياً قادنا لاستخدام الرنانات العازلة كهربائياً في تصميم و تنفيذ المرشحات و غيرها بمميزات مشابهة للمميزات التي تم الحصول عليها في الأجوف و أدلة الموجة و لكن مع تصغير الحجم نسبياً و سلوك جيد مع الحرارة.

إلا أن الرنانات العازلة كهربائياً و المحرضة بأنماطها الأساسية لا تكون ملائمة إلا للتطبيقات ذات الترددات المنخفضة نسبياً، و بالتالي يكون صعباً استخدامها في الترددات العالية نسبياً (الأبعاد الميليمترية). و بالتالي كان ضرورياً البحث عن استخدام أنماط جديدة مثل الأنماط الهماسة WM Whispering Modes التي تسمح بزيادة أبعاد الرنان مع المحافظة على الخواص الكهربائية و بالترددات المقابلة لطول الموجة المليميترى . وبالأخص سنرى بأن هذه الأنماط ضمن هذه الرنانات ستقدم معامل نوعية بالفراغ عالي جداً ، و هذا ما يزيد إيجابية الخواص الكهربائية للمرشح الذي سيعمل على هذه الأنماط.

لذلك سيتركز العمل هنا على دراسة بنية تعمل على هذه الأنماط. هذه الدراسة تستند على تطوير طريقة تحليلية حسابية و من ثم استخدام طريقة رقمية دقيقة بهدف تحديد المميزات الأساسية للبنية، و ذلك بغية استخدامها في تطبيقات الأمواج الميكروية كالمرشحات و غيرها.

2- أهمية البحث و أهدافه

مما تقدم فإن الهدف و الأهمية الأساسية لهذا البحث سترتكز على دراسة كهرومغناطيسية دقة و مفصلة لبنيتها تحتوي على رنان عازل كهربائياً يعمل على هذه الأنماط و ذلك ضمن مجال الترددات الميكروية (أبعاد ميليمترية)، من أجل استخدامها في تشكيل عناصر و دارات غير فعالة كمرشحات تمرين حزمة و غيرها، و ذلك باستخدام مواد عازلة كهربائياً مناسبة ضمن هذا النطاق من الترددات، و ذلك بهدف استخدامها في منظومات الاتصالات.

طريقة البحث

لإنجاز هذه الدراسة فإنها ستكون منهجية وفق الخطوات التالية:

1- في البداية سنقوم بتقديم دراسة موجزة للرنانات العازلة كهربائياً و العاملة على الأنماط الهماسة WM Whispering Modes

2- في الخطوة الثانية سنقوم بتقديم طريقة تحليلية (نفريبية)، التي تشتمل على إعطاء علاقات التشتت لعناصر الحقل الكهرومغناطيسي بواسطة توصيل الحقول عند أسطح الفصل بين الأوساط العازلة كهربائياً للبنية المدروسة.

3- الخطوة الثالثة ترتكز على الدراسة الكهرومغناطيسية الرقمية الدقيقة للبني المدرستة و ذلك بمساعدة مكتبة برنامجه **Modulef** ، و ذلك بهدف التحديد الدقيق للبارامترات الكهرومغناطيسية للأنماط WM : التردد الطيني - توزع الحقول الكهرومغناطيسية- معامل النوعية بالفراغ - ...

4- في هذه المرحلة سنقوم بتحديد تأثير مختلف أبعاد البنية المدرستة على معامل النوعية بالفراغ.

5- و في الختام سنقوم بتحليل و مناقشة النتائج و طرح الخطوات المستقبلية.

1 - دراسة موجة للرنانات العازلة كهربائياً و العاملة على الأنماط الهماسة **Whispering Modes WM**

1-1- تمهيد مبسط

بالتعريف الجوف الكهرومغناطيسي هو عبارة عن حجم فارغ أو مليء بغاز كهربائي، وهو إما أن يكون محدود بجدار معدنية أو يكون محدود بجدار ذات طبيعة مغناطيسية وبالتالي السطح الفاصل عبارة عن عازل كهربائي، بالحالة الأولى نتكلّم عن جوف معدني و بالحالة الثانية نتكلّم عن رنان عازل كهربائياً. وهذا الرنان العازل كهربائياً يجب أن يتميز بسماحية عالية وبضياعات صغيرة جداً أو بعامل نوعية عالي جداً، وكذلك يجب أن يتميز باستقرار حراري حول تردد الطين.

في هذه الرنانات فإن الشروط الحدية تكون تلك المفروضة بالسطح الفاصل هواء-غاز كهربائياً بسماحية عالية، هذا السطح الفاصل يشكّل حاجز مغناطيسي بينما في الأجوف المعدنية فإن السطح الفاصل هواء-معدن يشكّل حاجز كهربائي [1][2]. و بشكل عام، هذه الرنانات لها شكل أسطواني بمقطع دائري على شكل أقراص رئانة مصممة أو مفرغة. عادةً هذه الرنانات تستخدم لتشكيل المرشحات و موزعات الالستطاعة و الهزازات ذات استقرار تردد عالي. إن استخدامها كمرشحات يكون لانتقاء حزمة من الترددات أو تردد معين، ويمكن أن تستخدم في مضاعفات طول الموجة في المحطات الراديو-تلفونية أو فصل مسارات الإرسال والاستقبال للهواتف النقالة و كذلك يمكن أن تساعد في تشكيل دارات القاربات الإتجاهية. هذه الأجهزة يمكن أن تستخدم في تطبيقات: Global System Position GPS- Universal Global System Mobil GSM Module Telecommunication System UMTS.

ضمن المجالات التردديّة المذكورة فإن الرنانات العازلة كهربائياً المحرّضة لتعمل بأنماطها الكلاسيكية يكون من الصعب استخدامها بسهولة بسبب أبعادها الصغيرة جداً. لذلك للحفاظ على مختلف خواص الرنانات ضمن هذه المجالات التردديّة، فإنه من الضروري استخدام هندسيات جديدة تسمح بنشر أنماط جديدة بجوار الجدار الداخلي للرانن والتي تسمح بزيادة أبعاد الرنان من أجل نفس الترددات وهذا ما يسمح بتشكيل الدارات السابقة بسهولة. مع الملاحظة أن المواد العازلة كهربائياً الممكن استخدامها لتصنيع هذه الرنانات تكون تبعاً للمجال الترددي المستخدم [3][4][5][6].

1-2- الرنانات العازلة كهربائياً بالأنماط الهماسة **WM** [11][12][9][10][7][8]

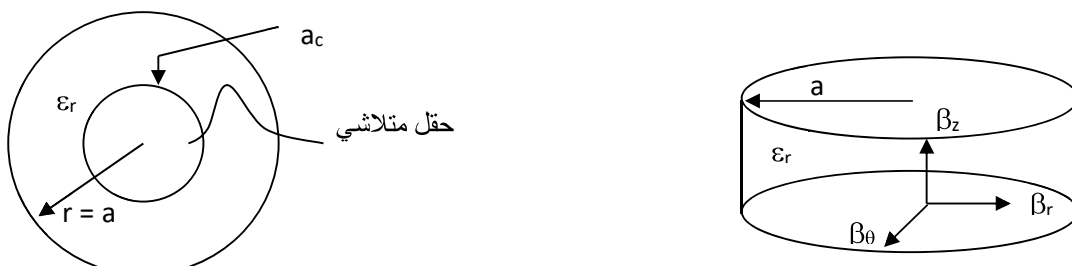
بالترددات العالية ($5\text{GHz} \rightarrow 100\text{GHz}$)، فإن الرنانات العازلة كهربائياً العاملة بالأنماط الكلاسيكية مثل النمط TE₀₁₈ تكون أبعادها صغيرة جداً، فمثلاً من أجل سماحة =36 μm و تردد $f=94\text{GHz}$ فإن قطر رنان عازل كهربائياً يكون مساوياً لارتفاعه وهو حوالي $500\mu\text{m}$. وبالتالي في هذه الحالة فإن استخدام هذه العناصر بدقة كافية يكون صعب جداً، ومن ناحية ثانية فإن توضع الرنان بالقرب من خط تحريض يكون حساس للغاية (يلزم دقة عالية). الأنماط الجديدة المسمّاة بالأنماط الطرفية أو الهماسة يمكن أن تسمح باستخدام الرنانات العازلة كهربائياً بترددات عالية جداً (طول موجة ميكروية (مليمتر)) بأبعاد أكبر مما لو كانت تعمل بالأنماط التقليدية، فمثلاً من أجل المثال السابق فإن الرنان سيكون بقطر حوالي 2mm و ارتفاع 0.5mm

1- 2-1- توصيف عام للأنمط الهامسة

ضمن بنية اسطوانية ذات مقطع دائري عازلة كهربائياً بسماحية ϵ_r و نصف قطر $a = r$ توجد مختلف الأنماط الرنانة: الكلاسيكية TE و TM والهجينة والأنمط الطرفية أو الهامسة WM. من وجهة النظر الكهرومغناطيسية، فإن واحدة من أهم الخواص الأساسية للأنمط الطرفية الهامسة هي توزيع القدرة (Energy) ضمن الرنان.

لفترض أنه لدينا رنان عازل كهربائي DR Dielectric Resonator بسماحية ϵ_r و نصف قطر $a = r$ كما هو مبين بالشكل 1

بالتعريف هذه الأنماط هي أنماط طرفية تدور حول السطح المcur الداخلي للرنان، وهذه الأنماط تنتقل في مقطع دائري والحقن الكهرومغناطيسي يتوضع في منطقة محدودة بالسطح داخلي للرنان $a = r$ و سطح داخلي وهي $a_c = a_c$ خارج هذه المنطقة ($a < r < a_c$) الحقن الكهرومغناطيسي يكون متلاشي كما هو مبين بالشكل 2



الشكل رقم (1): رنان عازل كهربائياً بسماحية ϵ_r ونصف قطر a
الشكل رقم (2): توزيع الحقن الكهرومغناطيسي للأنمط الهامسة في
ران DR

وبالتالي في المستوى الراديالي للرنان، فإن الحقول الكهرومغناطيسية لهذه الأنماط تتواجد بشكل مرکز كما هو مبين بالشكل أعلاه بالقرب من السطح المcur الداخلي للرنان. أما في المستوى المحوري للرنان فإن الحقول الكهرومغناطيسية تنتقل بثابت انتشار ضعيف، و بالتالي يمكن إهماله أما ثابت الانتشار الزاوي Azimutal ، وبالتالي الترددات الطينية ستكون متعلقة بشكل مباشر بنصف قطر الرنان $a = r$. و من الشكل أعلاه يمكن أن نكتب:

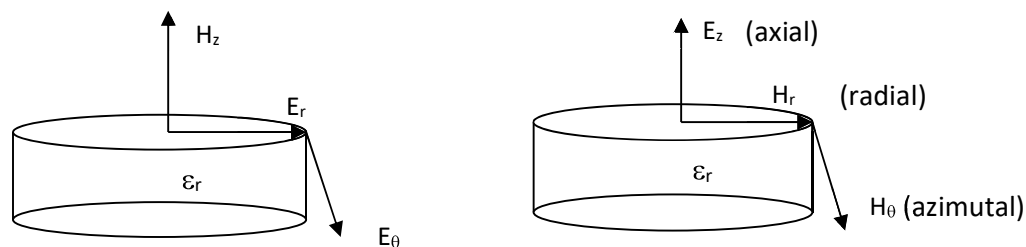
$$k^2 = \beta_\theta^2 + \beta_r^2 + \beta_z^2 \quad (1)$$

$$k^2 = \epsilon_r \frac{\omega^2}{c^2} \quad (2)$$

حيث: K هو عامل الموجة ضمن الرنان

β_r, β_z هي عبارة عن ثوابت الانتشار على التوالي: المحوري Axial ، الراديالي Radial، الزاوي Azimutal ، الزاوي C هي سرعة الضوء في الخلاء

في هذه الرنانات يمكن أن نميز نوعين من الأنماط WE و WH مزودة بثلاثة معاملات: n العدد الزاوي، m العدد الراديالي، l العدد المحوري، وبالتالي يمكن أن نكتب $WE_{n,m,l}$ و $WH_{n,m,l}$. وفي حالة WE فإن الحقن الكهربائي يكون بشكل أساسى بمركبات معرضة والحقن المغناطيسى يكون بشكل أساسى طولانى (E_θ, E_r, H_z) كما هو موضح بالشكل 3. أما في حالة WH فإن الحقن المغناطيسى يكون بشكل أساسى معرض والحقن الكهربائي طولانى أي (H_θ, H_r, E_z) كما هو موضح بالشكل 4

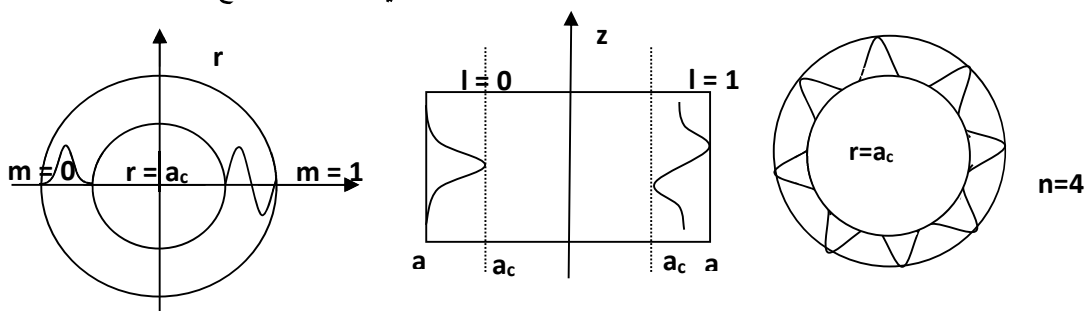


الشكل رقم (3): الحقل الكهرومغناطيسي للأنمات WE

الشكل رقم (4): الحقل الكهرومغناطيسي للأنمات WH

حيث n : هو عبارة عن عدد التغيرات الزاوية للحقل، (التغيرات تبعاً ل θ) وكذلك يمثل مرتبة تابع بيسيل، ويجدر الذكر أنه كلما زادت قيمته فإن القدرة ستتركز قرب السطح المقعر الداخلي للرنان.

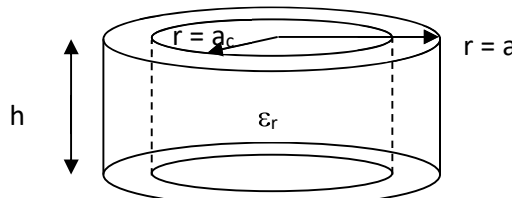
m : هو عبارة عن عدد التغيرات الراديوية للحقل أو عدد الأصفار تبعاً لقطر الرنان
أ: هو عبارة عن عدد التغيرات وفق المحور Z أو عدد الأصفار بالاتجاه المحوري. الشكل 5 يوضح ذلك



الشكل رقم (5): التغيرات الزاوية، الراديوية، المحورية للحقل الكهرومغناطيسي

1-2-2- نصف القطر الوهمي a_c

بالتعريف نصف القطر الوهمي هو عبارة عن سطح وهمي داخل الرنان العازل كهربائياً كما هو موضح بالشكل 6، وهو الذي يحدد المنطقة التي يحصل فيها اهتزاز و المناطق التي يحصل فيها تخميد للموجة الكهرومغناطيسية.

الشكل رقم (6) : نصف القطر الوهمي a_c للرنان

إن a_c تحدد انتلاقاً من علاقة الحقول الكهرومغناطيسية للعناصر الطولانية E_z و H_z داخل الرنان، و التي لها الشكل التالي:

$$\psi = A J_n(k_c r) e^{-j\beta \beta} e^{-jn\theta} e^{j\omega t}; 0 < r < a, \quad k_c = (k_1^2 - \beta^2)^{1/2} \quad (3)$$

إن هذه العلاقة هي حل للمعادلة التفاضلية:

$$\frac{1}{r} \frac{d}{dr} \left(r \frac{\partial J_n}{\partial r} \right) + \left(k_c^2 - \frac{n}{r^2} \right) J_n = 0 \quad (4)$$

حيث سيكون لدينا اهتزاز عندما: $r < \frac{n}{k_c}$ وسيكون لدينا تخميد عندما:

و من ناحية ثانية فإنه عندما يكون العدد الزاوي n ثابتاً فإن نصف القطر الوهمي a_c سينخفض عند زيادة التردد، وعند تثبيت k_c فإن a_c يزداد عند زيادة n ، وبالتالي من أجل قيمة كبيرة نسبياً للعدد الزاوي n فإن الحقل الكهرومغناطيسي سيكون محصوراً في المنطقة الطرفية للرنان ($m=0$).

2 - حساب البارامترات الترددية للأنماط الهاムسة ضمن الرنانات العازلة كهربائياً بطريقة تحليلية

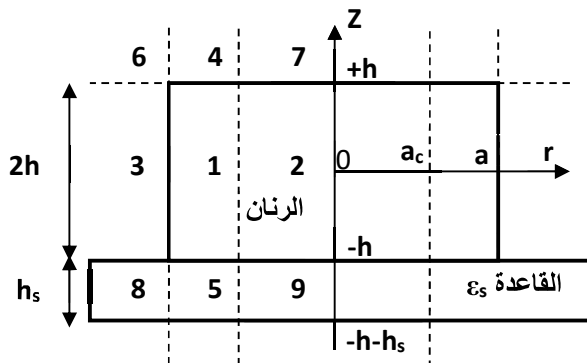
في هذه الفقرة سنقوم بتطوير و ملائمة طريقة تحليلية تسمح لنا بحساب الترددات الطبيعية للأنماط الهاムسة الممكن انتشارها ضمن رنان عازل كهربائياً، حيث أن الأبحاث السابقة قامت بدراسة مماثلة ولكن لرنان لوحه كاسطوانة عازلة كهربائياً، أما في هذه الدراسة فإننا سنأخذ بعين الاعتبار تأثير وجود القاعدة العازلة كهربائياً التي سيتووضع عليها الرنان على الترددات الطبيعية لهذه الأنماط.

هذه الطريقة تفترض أن الرنان المحرض بالأنماط الهاムسة يمكن أن يشبه حلقة رنانة عازلة كهربائياً ، لذلك سنسمى هذه الطريقة أحياناً بطريقة الحلقة.

2-1-2- الدراسة بالطريقة التحليلية

2-1-2-1- استنتاج علاقات الحقول الكهرومغناطيسية للبنية المدروسة

أن البنية المدروسة مكونة من رنان عازل كهربائياً بسماحة ϵ_r و نصف قطر $a = r$ متوضع على قاعدة عازلة كهربائياً ذات سماحة ϵ_s ، ولنفرض أن الرنان محضر بطريقة لينشر الأنماط WM، وبالتالي وبالأخذ بعين الاعتبار تمركز القدرة بين نصف القطر الخارجي للرنان $a = r$ و نصف القطر الوهمي $a_c = a_c$ فإن البنية ستكون مقسمة إلى 9 مناطق كما هو مبين بالشكل 7



الشكل رقم 7: تقسيم البنية إلى 9 مناطق

بما أنه في المناطق 6,7,8,9 الحقول صغيرة جداً، فإنه يمكن إهمالها، وبالتالي لا ندخلها بالدراسة، والمناطق من 1 إلى 5 تكون مميزة بالشكل التالي:

$$\begin{array}{lll}
 1: a_c < r < a & |z| < h & \varepsilon_{r1} = \varepsilon_r \\
 2: r < a_c & |z| < h & \varepsilon_{r2} = \varepsilon_r \\
 3: a < r & |z| < h & \varepsilon_{r3} = 1 \\
 4: a_c < r < a & z > h & \varepsilon_{r4} = 1 \\
 5: a_c < r < a & -h > z > -h - h_s & \varepsilon_{r5} = \varepsilon_s
 \end{array} \quad (5)$$

في كل منطقة من هذه المناطق يجب أن يحقق الحقل الكهرومغناطيسي معادلات ماكسويل ومعادلة هيلميتز:

$$\nabla^2 \psi + k_i^2 \psi = 0 \quad (6)$$

$$k_i^2 = \omega^2 \varepsilon_i \mu_i = \varepsilon_i r \frac{\omega^2}{c^2} \quad \text{حيث:}$$

$$WE \quad \psi = H(t) = H_z e^{j\omega t} \quad \text{للنظام } WE \quad WH \quad \psi = E(t) = E_z e^{j\omega t} \quad \text{للنظام } WH$$

إن حل هذه العلاقات يسمح لنا بالحصول على معادلات المركبات الطولانية للحقول الكهرومغناطيسية و ذلك في كل منطقة من مناطق البنية المدروسة. فمن أجل الأنماط WE لدينا لدينا ال:

الأنماط WE

$$\begin{aligned}
 E_z &= 0 \\
 H_{z1} &= \left\{ \begin{bmatrix} A J_n(k_1 r) + B Y_n(k_1 r) \\ [M \cos(\beta z) + N \sin(\beta z)] e^{jn\theta} \end{bmatrix} \right\} \\
 H_{z2} &= C I_n(k_2 r) [M \cos(\beta z) + N \sin(\beta z)] e^{jn\theta} \\
 H_{z3} &= D K_n(k_2 r) [M \cos(\beta z) + N \sin(\beta z)] e^{jn\theta} \quad (8) \\
 H_{z4} &= R [A J_n(k_1 r) + B Y_n(k_1 r)] e^{-\alpha_1(z-h)} e^{jn\theta} \\
 H_{z5} &= \left\{ \begin{bmatrix} A J_n(k_1 r) + B Y_n(k_1 r) \\ S e^{\alpha_2(z+h+h_s)} + T e^{-\alpha_2(z+h+h_s)} \end{bmatrix} e^{jn\theta} \right\}
 \end{aligned}$$

الأنماط WH

$$\begin{aligned}
 H_z &= 0 \\
 E_{z1} &= \left\{ \begin{bmatrix} A' J_n(k_1 r) + B' Y_n(k_1 r) \\ [M' \cos(\beta z) + N' \sin(\beta z)] e^{jn\theta} \end{bmatrix} \right\} \\
 E_{z2} &= C' I_n(k_2 r) [M' \cos(\beta z) + N' \sin(\beta z)] e^{jn\theta} \quad (7) \\
 E_{z3} &= D' K_n(k_2 r) [M' \cos(\beta z) + N' \sin(\beta z)] e^{jn\theta} \\
 E_{z4} &= R [A' J_n(k_1 r) + B' Y_n(k_1 r)] e^{-\alpha_1(z-h)} e^{jn\theta} \\
 E_{z5} &= \left\{ \begin{bmatrix} A' J_n(k_1 r) + B' Y_n(k_1 r) \\ S' e^{\alpha_2(z+h+h_s)} + T' e^{-\alpha_2(z+h+h_s)} \end{bmatrix} e^{jn\theta} \right\}
 \end{aligned}$$

حيث:

$$\begin{aligned}
 k_1^2 &= k_0^2 \varepsilon_{r1} - \beta^2 = k_0^2 \varepsilon_r - \beta^2 & k_2^2 &= k_0^2 \varepsilon_{r2} - \beta^2 = k_0^2 \varepsilon_r - \beta^2 & k_3^2 &= \beta^2 - k_0^2 \varepsilon_{r3} = \beta^2 - k_0^2 \\
 \alpha_1^2 &= k_1^2 - k_0^2 \varepsilon_{r4} = k_1^2 - k_0^2 & \alpha_2^2 &= k_1^2 - k_0^2 \varepsilon_{r5} = k_1^2 - k_0^2 \varepsilon_s & k_0 &= \frac{\omega}{c}
 \end{aligned}$$

β : ثابت الانتشار الطولاني ω : التردد الزاوي c : سرعة الضوء بالخلاء J_n :تابع بيسيل من الدرجة الأولى والمرتبة n Y_n : تابع بيسيل من الدرجة الثانية والمرتبة n I_n : تابع بيسيل المعدل من الدرجة الأولى والمرتبة n : K_n n : تابع بيسيل المعدل من الدرجة الثانية والمرتبة n $A, A', B, B', C, C', D, D', M, M', N, N', S, S', T, T'$ n : ثوابت لتحديد. أما بالنسبة للعناصر المعرضة للحقول الكهرومغناطيسية ($E_{ri}, E_{\theta i}, H_{ri}, H_{\theta i}$) فإنه يمكن أن تستخرج بسهولة وذلك بالاعتماد على المركبات (E_z, H_z) وبمساعدة معادلات ماكسويل:

$$\begin{cases} E_{ri} = \frac{1}{k_i^2} \left[-j\omega\mu \frac{1}{r} \frac{\partial H_z}{\partial\theta} + \frac{\partial^2 E_z}{\partial z \partial r} \right] \\ E_{\theta i} = \frac{1}{k_i^2} \left[j\omega\mu \frac{\partial H_z}{\partial r} + \frac{1}{r} \frac{\partial^2 E_z}{\partial z \partial\theta} \right] \end{cases} \quad \begin{cases} H_{ri} = \frac{1}{k_i^2} \left[j\omega\epsilon \frac{1}{r} \frac{\partial E_z}{\partial\theta} + \frac{\partial^2 H_z}{\partial z \partial r} \right] \\ H_{\theta i} = \frac{1}{k_i^2} \left[-j\omega\epsilon \frac{\partial E_z}{\partial r} + \frac{1}{r} \frac{\partial^2 H_z}{\partial z \partial\theta} \right] \end{cases} \quad (9)$$

2-1-2- استنتاج معادلات التشتت: يتم الحصول على معادلات التشتت بكتابة شروط الاستمرارية للمركبات المماسية للحقول الكهرومغناطيسية عند السطح الفاصل بين الأوساط العازلة كهربائياً 2 ↔ 1 و 3 ↔ 1 أي عندما $r = a_c$ و $r = a$ من أجل $|z| < h$. وبالتالي من أجل

الأنمات WH	الأنمات WE
$\begin{cases} r=a_c & H_{\theta 1}=H_{\theta 2} \\ r=a & H_{\theta 1}=H_{\theta 3} \end{cases}$ $E_{z1}=E_{z2}$ $E_{z1}=E_{z3}$	$\begin{cases} r=a_c & E_{\theta 1}=E_{\theta 2} \\ r=a & E_{\theta 1}=E_{\theta 3} \end{cases}$ $H_{z1}=H_{z2}$ $H_{z1}=H_{z3}$

في الخاتم سنحصل على المعادلات النهائية للتشتت من أجل الأنمات : WE :

$$\left\{ \begin{array}{l} \left[J_n(k_1 a_c) J'_n(k_1 a_c) - J'_n(k_1 a_c) J_n(k_1 a_c) \right] \bullet \\ \left[k_1 Y_n(k_1 a) K'_n(k_3 a) - k_3 Y'_n(k_1 a) K_n(k_3 a) \right] \end{array} \right\} - \left\{ \begin{array}{l} \left[Y_n(k_1 a_c) J'_n(k_1 a_c) - Y'_n(k_1 a_c) J_n(k_1 a_c) \right] \bullet \\ \left[k_1 J_n(k_1 a) K'_n(k_3 a) - k_3 J'_n(k_1 a) K_n(k_3 a) \right] \end{array} \right\} = 0 \quad (10)$$

ومن أجل الأنمات :

$$\left\{ \begin{array}{l} \left[J_n(k_1 a_c) J'_n(k_1 a_c) - J'_n(k_1 a_c) J_n(k_1 a_c) \right] \bullet \\ \left[k_1 \epsilon_{r3} Y_n(k_1 a) K'_n(k_3 a) - k_3 \epsilon_{r1} Y'_n(k_1 a) K_n(k_3 a) \right] \end{array} \right\} - \left\{ \begin{array}{l} \left[Y_n(k_1 a_c) J'_n(k_1 a_c) - Y'_n(k_1 a_c) J_n(k_1 a_c) \right] \bullet \\ \left[k_1 \epsilon_{r3} J_n(k_1 a) K'_n(k_3 a) - k_3 \epsilon_{r1} J'_n(k_1 a) K_n(k_3 a) \right] \end{array} \right\} = 0 \quad (11)$$

هذه العلاقات مشابهه من حيث الشكل لتي تم الحصول عليها من أجل الرنانات بالفراغ الحر (بدون قاعدة)

2-1-3- تحديد ثابت الانتشار المحوري β والتعدد f

من أجل تحديد ثابت الانتشار β , فإنه من الضروري توصيل العناصر المماسية في $h = z = -h$ و $z = -h$ و تحقيق الشروط الحدية عند $-h_s = -h$, و وبالتالي يمكن في النهاية الحصول على العلاقات التالية:

من أجل الأنمات WE :

$$\sin(2h\beta) [\beta^2 \operatorname{tgh}(\alpha_2 h_s) - \alpha_1 \alpha_2] - \cos(2h\beta) [\beta \alpha_1 \operatorname{tgh}(\alpha_2 h_s) + \alpha_1 \beta] = 0 \quad (12)$$

ومن أجل الأنمات WH :

$$\sin(2h\beta) [\beta^2 \operatorname{cotgh}(\alpha_2 h_s) - \alpha_1 \alpha_2] - \cos(2h\beta) [\beta \alpha_1 \operatorname{cotgh}(\alpha_2 h_s) + \alpha_1 \beta] = 0 \quad (13)$$

وبالتالي في حالة الرنان بالفراغ الحر سيكون لدينا $h_s = 1$ و $\infty \rightarrow h_s$.

2-1-4- حساب الترددات الطينية

من أجل رنان عازل كهربائياً ومن أجل كل نمط WM سنقوم بالتحديد التقريبي للتردد الطيني وذلك بالحل الآلي للمعادلتين 10 و 12 أو 11 و 13 وذلك بمساعدة برنامج تم كتابته بلغة فورتران. هذا البرنامج يعتمد الخطوات التالية:

- الخطوة الأولى تكون بالبحث عن قيمة β التي من أجلها ستعدم المعادلات 12 أو 13 من أجل تردد معطى

- الخطوة الثانية تكون بالتحقق من أن قيمة β من $10 \leq \beta \leq 13$ و ستعدم المعادلات 10 أو 11

ويجب التتحقق أيضاً من أن قيمة نصف القطر a المحسوب أن يكون أقل من نصف القطر الخارجي للرنان. إذاً سنجد التردد الطيني للأنمط WE عندما تكون العلاقات 10 و 12 مدعومتان، وسنجد التردد الطيني لأنماط WH عندما تكون العلاقات 11 و 13 مدعومتان. الآن سنقوم بتطبيق كل ما سبق على الحالتين:

- بنية مكونة من رنان عازل كهربائياً بسماحية ϵ_s متوضع على قاعدة ذات سماحة ϵ_r

- بنية مكونة من رنان عازل كهربائياً بالفراغ الحر (بدون وجود قاعدة)

الجدول التالي يبين المميزات الهندسية والفيزيائية للبني المدرسة.

ولنفرض أن الرنان محضر بطريقة تسمح له بنشر الأنماط الهاستة، ولنفرض أن طريقة التحرير لا تؤثر على الترددات الطينية للأنمط.

ϵ_r	ϵ_s	$h_s(\text{mm})$	$2h (\text{mm})$	$2a \text{ mm}$	
9.87	9.6	0.635	7.64	30.24	بوجود قاعدة
9.87	-	-	7.64	30.24	بدون قاعدة
9.87	9.6	0.635	1	8	بوجود قاعدة
9.87	-	-	1	8	بدون قاعدة
9.87	9.6	0.25	0.635	5	بوجود قاعدة
9.87	-	-	0.635	5	بدون قاعدة

الجدول رقم (1): الترددات الطينية للأنمط $WE_{n,0,0}$ و $WH_{n,0,0}$

$2a=30.24 \text{ mm}$ $2h=7.64 \text{ mm}$ $h_s=0.635 \text{ mm}$ $\epsilon_r=9.87$ $\epsilon_s=9.6$						
n	النمط	$f(\text{GHz})$ بدون قاعدة	$f(\text{GHz})$ مع قاعدة	النمط	$f(\text{GHz})$ بدون قاعدة	$f(\text{GHz})$ مع قاعدة
4	$WH_{4,0,0}$	9.177	8.27	$WE_{4,0,0}$	8.299	11.27
5	$WH_{5,0,0}$	10.369	9.17	$WE_{5,0,0}$	9.426	12.41
6	$WH_{6,0,0}$	11.546	10.17	$WE_{6,0,0}$	10.577	13.55
7	$WH_{7,0,0}$	12.711	11.21	$WE_{7,0,0}$	11.727	14.67
8	$WH_{8,0,0}$	13.865	12.35	$WE_{8,0,0}$	12.863	15.798
9	$WH_{9,0,0}$	15.007	13.44	$WE_{9,0,0}$	13.998	16.917
10	$WH_{10,0,0}$	16.149	14.75	$WE_{10,0,0}$	15.120	17.048

الجدول رقم (2): الترددات الطينية للأنمط $WE_{n,0,0}$ و $WH_{n,0,0}$

$2a=8 \text{ mm}$ $2h=1 \text{ mm}$ $h_s=0.635 \text{ mm}$ $\epsilon_r=9.87$ $\epsilon_s=9.6$						
n	النمط	$f(\text{GHz})$ بدون قاعدة	$f(\text{GHz})$ مع قاعدة	النمط	$f(\text{GHz})$ بدون قاعدة	$f(\text{GHz})$ مع قاعدة
16	$WH_{16,0,0}$	89.317	88.396	$WE_{16,0,0}$	85.333	88.213
17	$WH_{17,0,0}$	93.505	92.312	$WE_{17,0,0}$	89.463	92.417
18	$WH_{18,0,0}$	97.684	96.309	$WE_{18,0,0}$	93.592	96.498
19	$WH_{19,0,0}$	101.851	100.401	$WE_{19,0,0}$	97.722	100.697
20	$WH_{20,0,0}$	105.991	104.546	$WE_{20,0,0}$	101.842	104.815

انطلاقاً من هذه النتائج في كلتا الحالتين (وجود قاعدة أو عدم وجودها)

ومن أجل أي نمط من الأنماط فإنه يمكننا التتحقق أن:

- التردد الطيني لهاذا النمط يزداد بزيادة العدد الزاوي n .

- الترددات الطينية للأنمط تتصف بالدورية تبعاً للعدد

الزاوي، ونلاحظ أن قيمة الدور يرتبط بشكل مباشر بنصف قطر

الرنان الخارجي a ، حيث أنه من أجل الرنانات ذات أنصاف

الأقطار الكبيرة فإن المسافة بين ترددين طينيين متاليين تكون

صغريرة نسبياً، أما في الرنانات ذات أنصاف الأقطار الصغيرة فإن المسافة الترددية بين

النمطين المتاليين تكون كبيرة نسبياً.

وختاماً و من أجل التتحقق و الحكم أي النمطين نتائجه أكثر

دقة فإنه يتوجب خطوة عملية

الجدول رقم (3) : الترددات الطينية للأنماط $WE_{n,0,0}$ و $WH_{n,0,0}$

$2a=5 \text{ mm}$		$2h=0.635 \text{ mm}$		$h_s=0.25 \text{ mm}$		$\epsilon_r=9.87 \quad \epsilon_s=9.6$	
n	النمط	$f(\text{GHz})$ بدون قاعدة	$f(\text{GHz})$ مع قاعدة	النمط	$f(\text{GHz})$ بدون قاعدة	$f(\text{GHz})$ مع قاعدة	
7	$WH_{7,0,0}$	81.445	80.146	$WE_{7,0,0}$	75.499	78.719	
8	$WH_{8,0,0}$	88.396	87.096	$WE_{8,0,0}$	82.600	85.637	
9	$WH_{9,0,0}$	95.312	94.012	$WE_{9,0,0}$	89.642	92.798	
10	$WH_{10,0,0}$	102.171	101.001	$WE_{10,0,0}$	96.443	99.663	
11	$WH_{11,0,0}$	109.131	107.696	$WE_{11,0,0}$	103.120	106.615	

لقياس الترددات الطينية لمختلف الأنماط.

و لكن منطقياً من المتوقع أن تكون النتائج للأنماط $WE_{n,0,0}$ أكثر دقة من نتائج الأنماط $WH_{n,0,0}$ لأن مركبته E_z لن تكون مستمرة على سطوح الفصل للرمان، أما الأنماط E_r, E_θ, E_ϕ فإن مركباتها $WE_{n,0,0}$ هي مستمرة.

3 - الدراسة بالطريقة الرقمية

1-3- شرح مبسط [13][14][15]

لإنجاز الدراسة الرقمية للبنية المدروسة (و بالتحديد دراسة الأنماط WM الممكن انتشارها في الرمان العازل كهربائياً)، فإنه سيتم استخدام مكتبة برنامج الحساب Modulef الذي يستخدم بيئة العناصر المنتهية، وذلك بعد ملامعة هذه الطريقة على البنية المدروسة . هذه الطريقة يمكن تطبيقها على بناء ذات أبعاد وأشكال لا على التعبيين، تكون مكونة من حجوم محددة إما بجدران كهربائية (CCE) أو مغناطيسية (CCM) التي عليها يتم تطبيق الشروط الحدية المناسبة.

إن استخدام هذه الطريقة يبدأ بإدخال البنية هندسياً (أبعاد البنية) وتشكيل ما يعرف بالشبكة العنكبوتية للبنية وذلك بتقسيم البنية على شكل مثلثات في حالة الدراسة ببعدين ، و على شكل مجسمات في حالة الدراسة بثلاثة أبعاد ، مع الملاحظة أنه في المنطقة المتوقعة انتشار الأمواج الكهرومغناطيسية يجب أنزيد عدد نقاط التقاطع (في حالتنا منطقة الرمان)، لأن ذلك يضمن الحصول على نتائج أكثر دقة ولكن بالمقابل فإن الزمن اللازم للحساب سيكون كبيراً نسبياً، في دراستنا تم استخدام 623 نقطة و 1187 عنصر وبالتالي 1187 مثلث. بعد ذلك يتم كتابة شيفرتين (كودين) خاصتين بهذه البنية:

- الأولى هي عبارة عن برنامج تهيئه للحساب ويتضمن إدخال الثوابت الفيزيائية للبنية المدروسة التي تم إدخالها هندسياً تحت اسم معين (.سماحيات الأوساط، الشروط الحدية للبنية (جدران معدنية CCE أو عازلة كهربائية CCM)، نوع الاهتزاز (حر أم قسري (في حالتنا اهتزاز حر)).

- الثانية هي عبارة عن برنامج الحساب الذي من خلاله يمكن تحديد مختلف الأمواج المنتشرة في هذه البنية حتى التي تسمى بالأمواج الطفيليّة غير المفيدة وذلك تبعاً للبارامترات لفيزيائية والهندسية للبنية المدروسة.

إن جوهر المسألة يكون بحساب الأمواج الكهرومغناطيسية بكل ما يتعلق بها (مركبات الحقول الكهرومغناطيسية- ثابت الانتشار الطولاني- السماحية الفعالة- التردد الطيني-...)، و ذلك للبنية التي يمكن أن تحتوي على العديد من الأوساط بسماحيات مختلفة وبنفوذية مغناطيسية متماثلة. وتكون البنية محددة بسطوح فصل إما CCE أو CCM ، والتي عليها ستتوزع الشحن والتيارات السطحية. ومن ناحية ثانية، فإننا نتوقع دائماً بحالة أن مركبات الحقول الكهرومغناطيسية هي دورية بالنسبة للزمن $\exp(-j\omega t)$ ، بالإضافة أن الأوساط هي متجلسة ومتتماثلة ، ضمن هذه الشروط فإن معادلات ماكسويل يمكن أن تكتب بالصيغة النهائية التالية:

$$\iiint_V \left(\frac{1}{\epsilon_r} \vec{\operatorname{rot}} \vec{H} \right) \vec{\operatorname{rot}} \vec{\phi_m} dV - k_0^2 \iiint_V \mu_r \vec{H} \cdot \vec{\phi_m} dV = - j\omega \epsilon_0 \sum_{i=1}^n \iint_{S_{pi}} \vec{j}_{mpi} \cdot \vec{\phi_m} dS_{pi} \quad (14)$$

$$\iiint_V \left(\frac{1}{\mu_r} \operatorname{rot} \vec{E} \right) (\operatorname{rot} \vec{\varphi}_e) dV - k_0^2 \iiint_V \epsilon_r \vec{E} \cdot \vec{\varphi}_e dV = - j \omega \mu_0 \sum_{i=1}^n \iint_{S_{pi}} \vec{j}_{epi} \cdot \vec{\varphi}_e dS_{pi} \quad (15)$$

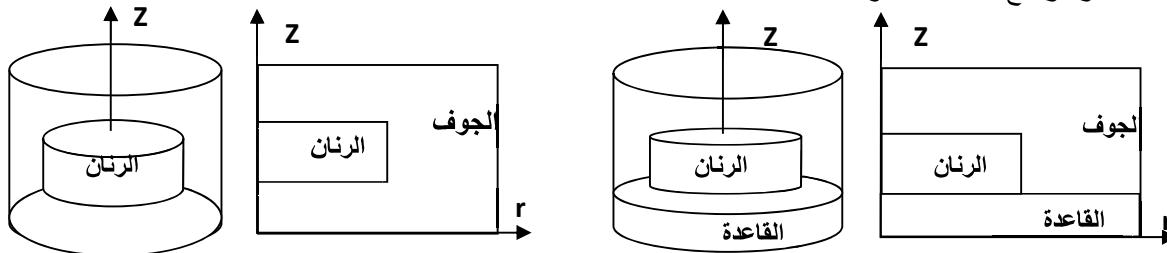
حيث: n : عدد المنافذ للبنية p_i : سطح المستوى S_{pi}
 φ_e : مسوى المنفذ \vec{j}_{epi} : هي على التوالي تابع الفحص القياسي بحائط مغناطيسي وكهربائي.
 j_{mpi} : هي على التوالي التيارات السطحية المغناطيسية و الكهربائية لمستوى P_i

وهذا لدينا صيغتان ممكنتان للاستخدام: إما الصيغة E التي من خلالها يتم حساب الحقل الكهربائي \vec{E} ، أو الصيغة H : التي من خلالها يتم حساب الحقل الكهربائي \vec{H} ، و من خلال أحدهما يمكن حساب الآخر بواسطة معادلات ماكسويل. في البنية التي تم تشكيل شبكتها العنكبوتية فإنه يتم تطبيق العلاقة 14 أو العلاقة 15 على كل عنصر من عناصر الشبكة مع ضمان شروط الاستمرارية بين كل عنصرين متقاربين، علمًا أنه لدينا نمطان من الحلول:

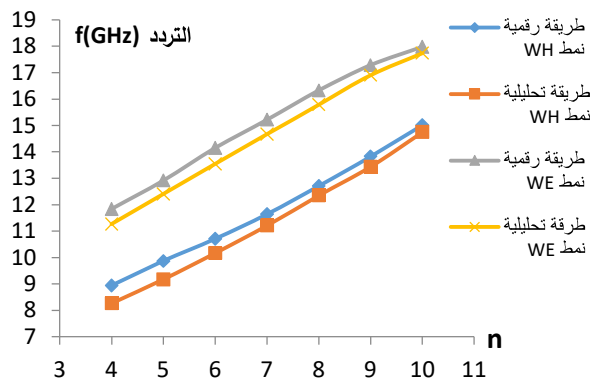
- الحل بالاهتزازات الحرجة الذي يسمح بالبحث عن الأنماط المشتركة- ثابت الانتشار - السماحية الفعالة- التردد الطيني للنمط المنتشر- هنا الحد الثاني من العلاقات 14 و 15 يكون مساوياً للصفر.
- الحل بالاهتزازات القسرية الذي يتم فيه فرض التردد ومن ثم يتم البحث عن معاملات النقل و الانعكاس للبنية المدرستة.

3- 2 - نتائج الدراسة الرقمية

إن استخدام هذه الطريقة الرقمية يتطلب أن يكون الرنان العازل كهربائياً متوضعاً ضمن جوفٍ معدني، وسيتم دراسة الرنان بالحالتين: وجود قاعدة وعدم وجودها. مع الأخذ بعين الاعتبار التأثير المحوري للبنية الذي يسمح بتحفيض البنية لنصف كما هو موضح بالأشكال 8 و 9.



الشكل رقم (8) : الرنان العازل كهربائياً متوضع على قاعدة
 كما ذكرنا سابقاً، يتوجب أن تكون الشبكة العنكبوتية أكثر كثافة في المناطق المتوقع أن يكون فيها الحقل الكهربطي قوياً أو أنه يخضع لتغيرات قوية (في حالتنا الحقل يكون مركز بين الجدار الداخلي للرنان $r = a = a_0$ ونصف القطر الوهمي $r = a_0$). فإن عدد العقد يجب أن يكون كبيراً.



شكل رقم (10): تغيرات الترددات الطينية للأتمانط $WE_{n,0,0}$ و $WH_{n,0,0}$ بوجود قاعدة

2- 1- 2- رنان عازل كهربائياً بوجود قاعدة 3- 1- 2- الحاله الأولى

في البداية سنقوم بتطبيق هذه الطريقة على الرنان الذي تم دراسته سابقاً، والذي يتميز بالمواصفات التالية:

$$\epsilon_r = 9.87 \quad 2a = 30.24\text{mm}$$

$$2h = 7.64\text{mm} \quad h_s = 0.635\text{mm} \quad \epsilon_s = 9.6$$

و الشكل 10 يبين تغيرات الترددات الطينية للأتمانط $WE_{n,0,0}$ و $WH_{n,0,0}$ كتابع للعدد الزاوي n و التي تم الحصول عليها بالطريقتين التحليلية و الرقمية.

3- 2- 2- الحاله الثانية

الآن سنقوم بدراسة البنية ذات المواصفات التالية

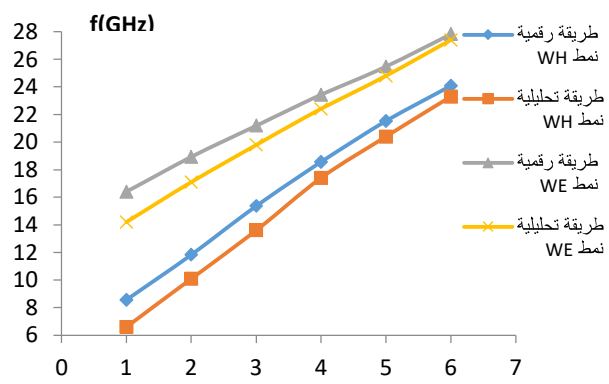
$$\epsilon_r = 9.6 \quad 2a = 14\text{mm}$$

$$2h = 2 \text{ mm} \quad h_s = 0.25 \text{ mm} \quad \epsilon_s = 2.2$$

المعدني

الذي يحيط بالرنان له قطر 30 mm وارتفاع 7 mm .

و الشكل 11 يبين تغيرات الترددات الطينية للأتمانط $WE_{n,0,0}$ و $WH_{n,0,0}$ كتابع للعدد الزاوي n و التي تم الحصول عليها بالطريقتين التحليلية و الرقمية.



شكل رقم (11): تغيرات الترددات الطينية للأتمانط $WH_{n,0,0}$ و $WE_{n,0,0}$ كتابع للعدد الزاوي n بوجود قاعدة

من هذه النتائج نلاحظ أن قيمة الترددات الطينية قريبة من بعضها ولكنها غير متطابقة تماماً، وهذا الاختلاف ناتج عن أنه في الطريقة التحليلية لا يؤخذ بعين الاعتبار تأثير الجوف المحيط بالرنان كما هو بالطريقة الرقمية. ومن ناحية ثانية وبالنسبة للطريقتين فإنه كلما زاد العدد الزاوي n فإن قيمة الترددات الطينية تتقارب لكلا الطريقتين، و ذلك بسبب تمركز القدرة بالقرب من الجدار الداخلي للرنان.

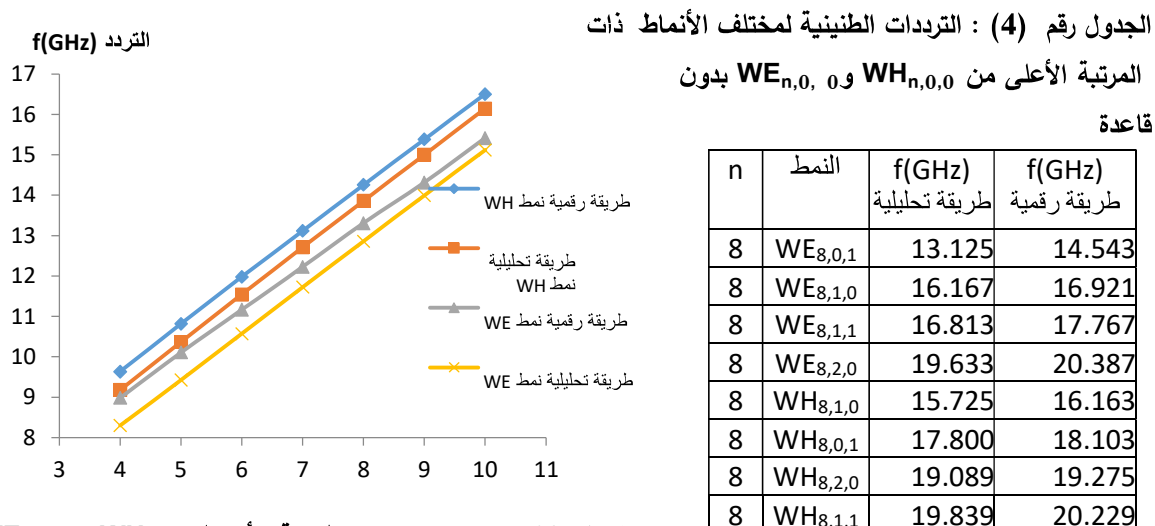
3- 2- 2- رنان عازل كهربائياً بدون قاعدة

3- 2- 1- الحاله الأولى

ذلك هنا سنقوم بتطبيق هذه الطريقة على الرنان الذي تم دراسته سابقاً، والذي يتميز بالمواصفات التالية:

$$\epsilon_r = 9.87 \quad 2a = 30.24\text{mm} \quad 2h = 7.64\text{mm}$$

و كالسابق فإن الشكل 12 يبين تغيرات الترددات الطينية للأتمانط $WH_{n,0,0}$ و $WE_{n,0,0}$ كتابع للعدد الزاوي n و التي تم الحصول عليها بالطريقتين التحليلية و الرقمية. و من خلال النتائج التي تم الحصول عليها، ومن أجل نمط محدد فإننا نلاحظ أيضاً أن التردد الطيني يزداد طردياً بزيادة العدد الزاوي n . وضمن هذه الشروط و خصوصاً الأبعاد الكبيرة نسبياً للرنان، ومن أجل عدد زاوي n ثابت، فقد لاحظنا أنه لدينا عدد كبير من الأتمانط ذات المراتب الأعلى من الأتمانط $WE_{n,0,0}$ و $WH_{n,0,0}$ والجدول 6 يبين ذلك. و من ناحية ثانية ، فإن أبعاد الجوف تلعب دوراً مهماً على ترددات الأتمانط التي لها تغيرات كبيرة على البعد المحوري و الراديالي.



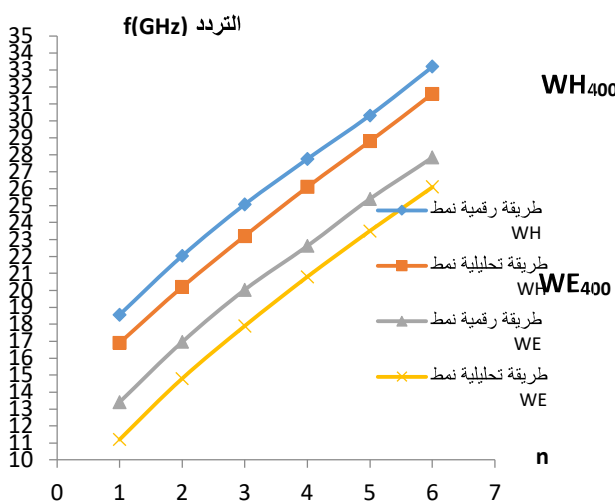
كتاب للعدد الزاوي n بدون قاعدة

2-2-2-3 - الحالة الثانية

الآن سنقوم بدراسة البنية ذات المواصفات التالية: $\epsilon_r = 9.6$ $2a = 14\text{mm}$ $2h = 2\text{mm}$ $R = 7\text{mm}$ وارتفاع 30mm , النتائج التي تم الحصول عليها بمختلف الطرق موضحة بالجدول 5 و الشكل 13 له قطر 30mm وارتفاع 7mm , النتائج التي تم الحصول عليها بمختلف الطرق موضحة بالجدول 5 و الشكل 13

الجدول رقم (5): الترددات الطينية للأنماط $WE_{n,0,0}$ و $WH_{n,0,0}$

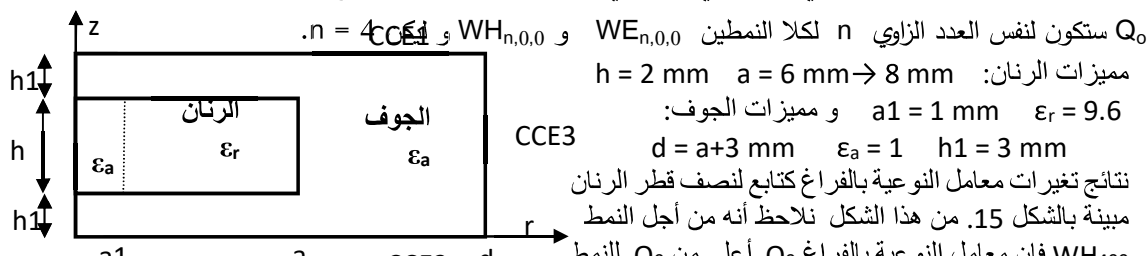
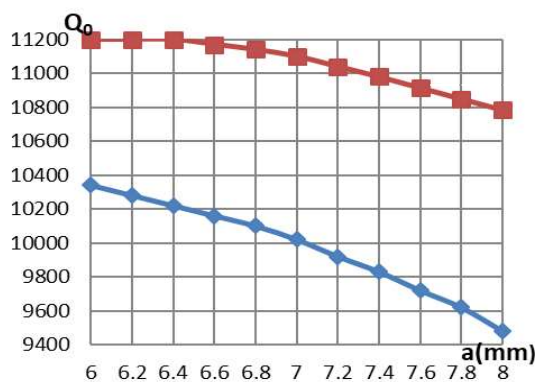
n	النمط	f(GHz) تحليلية	f(GHz) رقمية	النمط	f(GHz) تحليلية	f(GHz) رقمية
1	$WH_{1,0,0}$	16.9	18.56	$WE_{4,0,0}$	11.2	13.40
2	$WH_{2,0,0}$	20.2	22.04	$WE_{2,0,0}$	14.8	16.96
3	$WH_{3,0,0}$	23.2	25.07	$WE_{3,0,0}$	17.9	20.03
4	$WH_{4,0,0}$	26.1	27.75	$WE_{4,0,0}$	20.8	22.62
5	$WH_{5,0,0}$	28.8	30.32	$WE_{5,0,0}$	23.5	25.40
6	$WH_{6,0,0}$	31.6	33.20	$WE_{6,0,0}$	26.1	27.84

شكل 13: تغيرات الترددات الطينية للأنماط $WH_{n,0,0}$ و $WE_{n,0,0}$ كتابع للعدد الزاوي n بدون قاعدة

من هذه النتائج و كالتالي، نلاحظ أن قيم الترددات الطينية قريبة من بعضها و لكنها غير متطابقة تماماً و ذلك للأسباب المعللة أعلاه. و كذلك و كما في الحالات السابقة نلاحظ أنه كلما زادنا العدد الزاوي n فإن القدرة ستتمركز داخل الرنان و بالقرب من الجدار الداخلي للرنان. ويجب الملاحظة أنه و بالرغم من أن الطريقة التحليلية نتائجها تقريبية فإنها تسمح لنا بسرعة معرفة القيمة التقريبية لتردد الطيني للأنماط المجموع عنها، و هذا وبالتالي سمح لنا معرفة المجال الترددي الذي سيستخدم في الطريقة الرقمية، و الذي بدوره ساعد في اختصار زمن الحساب بالطريقة الرقمية.

4- دراسة تغيرات معامل النوعية بالفراغ كتابع لأبعاد البنية

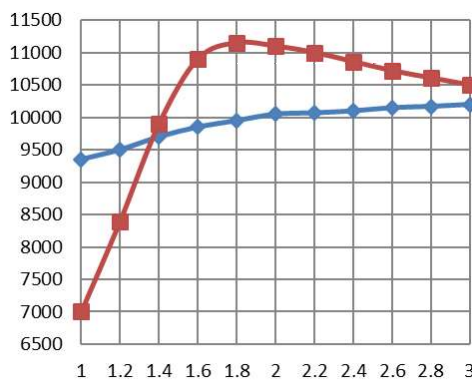
سندرس في هذه المرحلة تغيرات معامل النوعية بالفراغ لبنية برنان عازل كهربائياً كتابع لأبعاد الرنان و الجوف المعدني المحيط به. هذه الدراسة ستسمح لنا بمعرفة البارامترات التي لها تأثير كبير على هذا المعامل. إن برمج *Modulef* ستمكننا من حساب ضياعات العزل الكهربائي و المعدني و وبالتالي حساب معامل النوعية بالفراغ Q_0 . علماً أن دراسة التغيرات لـ

الشكل رقم 14: الرنان العازل كهربائياً متقوب
و متوضع في جوف معدنيالشكل رقم 15 : تغيرات المعامل Q_0 كتابع
لنصف قطر الرنان

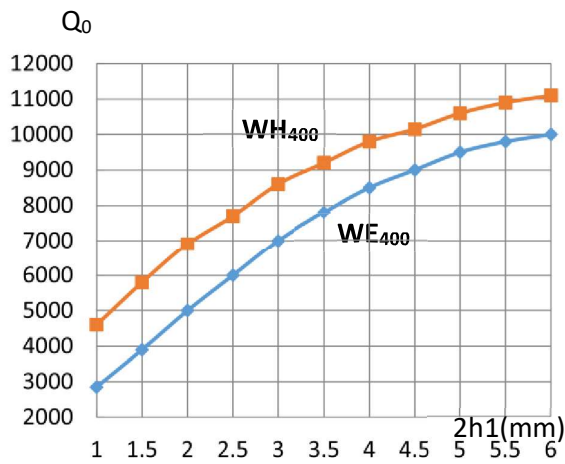
1-4-1- دراسة تغير معامل النوعية بالفراغ كتابع لأبعاد الرنان

1-4-1- دراسة التغيرات كتابع لنصف قطر الرنان

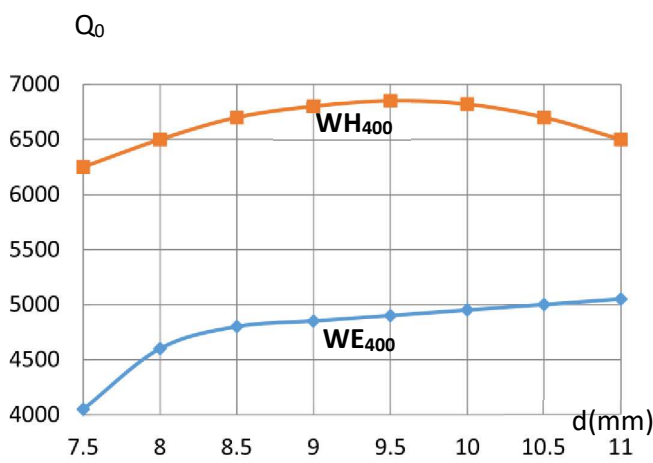
إن البنية المدروسة متاظرة حول محورها، و وبالتالي سيتم تنفيذ الحسابات بواسطة برمج *Modulef* ببعدين على نصف البنية كما هو موضح بالشكل 14. و الرنان العازل كهربائياً متقوب في مركزه للتمكن من ثبيته بواسطة قضيب معدني. و من ناحية ثانية فقد ثبتنا الناقليات الكهربائية للجدار الثلاثة على $\sigma = 10^7$ و ضياعات الميل للمادة المكونة للرنان $\text{tg } \delta = 10^{-4}$



شكل رقم (16) : تغيرات معامل النوعية بالفراغ Q_0 كتابع لارتفاع الرنان
للنمط WH_{400} و ذلك بزيادة نصف قطر الرنان. الشكل رقم (16) : تغيرات معامل النوعية بالفراغ Q_0 كتابع لارتفاع الرنان من هذه الدراسة لمعامل النوعية بالفراغ و من أجل الحالتين فإنه يمكن أن نلاحظ أن النمط WE_{400} أقل حساسية للتغيرات أبعاد الرنان من النمط WH_{400} .



شكل رقم (17) : تغيرات معامل النوعية بالفراغ Q_0 كتابع لارتفاع الجوف



شكل رقم (18) : تغيرات معامل النوعية بالفراغ Q_0 كتابع لنصف قطر الجوف

1-4 - 2- دراسة التغيرات كتابع لارتفاع الرنان

مميزات الرنان: $a = 7 \text{ mm}$ $h = 1 \text{ mm} \rightarrow 3 \text{ mm}$ $a_1 = 1 \text{ mm}$ $\epsilon_r = 9.6$
 $d = 10 \text{ mm}$ $\epsilon_a = 1$ $h_1 = 3 \text{ mm}$
 نتائج تغيرات معامل النوعية بالفراغ كتابع لارتفاع الرنان
 مبينة بالشكل 16. من هذا الشكل نلاحظ
 أنه بالنسبة للنمط WE_{400} فإن Q_0 يتغير بشكل طفيف
 مع زيادة ارتفاع الرنان، أما Q_0 للنمط WH_{400} فإنه
 بتغير بشكل كبير و يمر بقيمة أعظمية ثم ينخفض مع
 زيادة الارتفاع.

للنمط WH_{400} و ذلك بزيادة نصف قطر الرنان.

4-2- دراسة تغير معامل النوعية بالفراغ كتابع لأبعاد الجوف

4-2-1 - دراسة التغيرات كتابع لارتفاع الجوف

مميزات الرنان: $a = 7 \text{ mm}$ $h = 2 \text{ mm}$ $a_1 = 1 \text{ mm}$ $\epsilon_r = 9.6$

$d = 10 \text{ mm}$ $\epsilon_a = 1$ $2h_1 = 1 \rightarrow 6 \text{ mm}$
 نتائج تغيرات معامل النوعية بالفراغ كتابع لارتفاع الجوف
 مبينة بالشكل 17. من هذا الشكل نلاحظ أن Q_0 يتغير بنفس
 الطريقة للنمطين WH_{400} و WE_{400} وأن Q_0 للنمط
 WH_{400} يبقى دوماً أعلى من Q_0 للنمط WE_{400} .
 مع زيادة ارتفاع الرنان، أما Q_0 للنمط WH_{400} فإنه
 بتغير بشكل كبير و يمر بقيمة أعظمية ثم ينخفض مع
 زيادة الارتفاع.

4-2-2- دراسة التغيرات كتابع لنصف قطر الجوف

مميزات الرنان: $a = 7 \text{ mm}$ $h = 2 \text{ mm}$

$a_1 = 1 \text{ mm}$ $\epsilon_r = 9.6$

مميزات الجوف: $d = 7.5 \rightarrow 11 \text{ mm}$

$\epsilon_a = 1$ $h_1 = 1 \text{ mm}$

نتائج تغيرات معامل النوعية بالفراغ كتابع لنصف
 قطر الجوف مبينة بالشكل 18. من هذا الشكل نلاحظ
 أن Q_0 بالنسبة للنمط WH_{400} يتوجه لقيمة أعظمية ثم
 يتناقص مع زيادة نصف قطر الجوف، أما
 بالنسبة للنمط WE_{400} فإن زيادته تكون باتجاه
 قيمة الثبات.

5 - مناقشة النتائج و التوصيات:

من خلال القسم الأول لهذه الدراسة، فإن استخدام الطريقة التحليلية المطورة في هذا البحث مكنتنا من تحديد التقريري للخواص الترددية للرنانات العازلة كهربائياً العاملة على الأنماط WM. هذه النتائج ساعدتنا كثيراً في تخفيض زمن الحساب بالطريقة الرقمية في القسم الثاني من هذه الدراسة. حيث أن هذه الأخيرة سمحت لنا أن نحدد بدقة الاستجابة الكهرومغناطيسية لكل بنية م دروسة: الترددات الطينية- مركبات الحقول الكهرومغناطيسية- توزع القدرة الكهرومغناطيسية في البنية الم دروسة- معامل النوعية بالفراغ و بالتالي من خلال هاتين الطريقتين فقد تمكنا في المرحلة الأولى من دراسة تأثير الخواص الهندسية (الأبعاد) و الفيزيائية للبنية على البارامترات الكهرومغناطيسية للأنمط WM. و من خلال ذلك درسنا تأثير العدد الزاوي على البارامترات الكهرومغناطيسية للأنمط الممكن انتشارها في الرنان على شكل قرص مصنوع (disc) ، فقد تبين لنا من أجل كل نمط أنه مع زيادة العدد الزاوي n فإن قدرته تنتقل لتمركز بجوار السطح الداخلي لجدار الرنان و تردداته يزداد طردياً. لذلك من أجل استبعاد الأنماط ذات العدد الزاوي المنخفض في التطبيقات العملية التي تستلزم الأنماط ذات العدد الزاوي المرتفع نسبياً فإنه نقترح استخدام رنان عازل كهربائياً على شكل حلقة سطحها الداخلي بقطر مساوي للقطر الوهمي $a_c = 2$ و سطحها الخارجي مساوي لقطر الرنان الخارجي $a = 2$. و في المرحلة الثانية و اعتماداً على الطريقة الرقمية فقد درسنا تغيرات معامل النوعية بالفراغ كتابع لأبعاد البنية (الرنان و الجوف) . ختاماً، إن هذه الدراسة مهمة لأنها تسمح لنا بتحديد أبعاد البنية الملائمة من أجل نمط معين لاستخدامها في مجال الترددات العالية، و ذلك في تشكيل الدارات الفعالة وغير فعالة مثل: المراوحات Filters كحالتنا- القارنات الاتجاهية Directing Couplers ... الممكن استخدامها في حقل الاتصالات الحديثة.

المراجع العلمية

- 1- Combes P.F. , 1996– Microondes : Lignes, Guides et Cavites. Dunod,ISBN 210002840
5 Paris
- 2- Combes P.F. , 1998– Circuits Passifs, Propgton, Antennes. Dunod,ISBN Paris
- 3- Badev A., Nov. 2008, Matériaux diélectriques à faibles Pertes utilisés comme résonateurs et filtres dans les circuits micro–ondes, Thèse de doctorat université Toulouse (France).
- 4- Kajfez D.and Guillon P., 1986, Cds. Dielectric Resonators, Artech House Books
- 5- Binsangou,V., 1999– These n°6–99 Limoges, France
- 6- Zuhair A. Tayyeb, 2011, Use of Cr–39 Polymer for Radiation Dosimetry – JKAU: Eng. Sci., Vol. 22 No.1, pp: 79–96 (2011 A.D. / 1432A.H.) Doi: 10.4197 / Eng. 22–1.5
- 7- Auxemery P., 2006– Contribution a l'étude des paramètres Electriques et Magnetiques des Résonateurs Diélectriques, Thèse de doctorat no d'ordre 34–06, France
- 8- Pozar D. M., 2005– Micowave Engineering 3rd ed. John Wiley
- 9- Deych L., Rubin J., 2008– Single–particle Rayleigh scattering of whispering modes: split or not to split?, Queens College–CUNY, NEMSS– Middletown
- 10- Michael L. Gorodetsky, Aleksey E. Fomin, 2005– Geometrical theory of whispering modes, Arxiv: physcs/0509226v1 Sep. 2005
- 11- Wei Hong, Xiaohan Sun, 2010– Micro–disks embedded microring for optical filter, Jiangsu Provincial Center for Optical Sensors and Optical Communications Network Technology, Lab of Photonics and Optical Communications, Southeast University, #2 SiPaiLou, Nanjing 210096, China Article history: Received 4 July 2010 Accepted 15 December 2010 Available onlinexxx
- 12- Cros D. 1990– Oscillateurs et Combineurs de Puissance Millimétriques, Thèse de doctorat no d'ordre 44–1990, France.
- 13- SCHILDERS,W.H.A,TER MATEN, E.J.W., 2005– Special Volume: Numerical Methods in Electromagnetics , London, UK.
- 14- MATTHEW, N.O., 2000 – Numerical Techniques In Electromagnetics. ISBN, Second Edition–New York, 750p
- 15- MATTHEW, N.O., 2001– Elements Of Electromagnetic, ISBN, Third Edition–New York, 765p.